

基于数据挖掘和人工神经网络的厌氧产气模型构建

温沁雪¹, 李奕芯², 杨硕¹, 党宁³, 甘硕儒¹, 李慧莉³, 陈志强^{1,3}

(1. 哈尔滨工业大学 城市水资源与水环境国家重点实验室, 黑龙江 哈尔滨 150090; 2. 中国建筑西南设计研究院有限公司, 四川 成都 610041; 3. 兰州理工大学 土木工程学院, 甘肃 兰州 730050)

摘要: 为模拟厌氧产甲烷规律, 以稳定运行的猪粪秸秆厌氧共消化反应器为基础, 应用数据挖掘技术对反应器的运行数据进行预处理, 并应用人工神经网络建立猪粪秸秆厌氧共消化产气预测模型。利用 SPSS 中的聚类分析和相关性分析, 确定模型的输入、输出个数分别为 5 和 1, 利用试凑法确定模型隐藏层个数为 9。确定模型拓扑结构后, 应用标准 BP 算法和动量-自适应学习速率算法训练模型, 结果表明动量-自适应学习速率算法有更好的训练效果。同时, 对模型的性能进行验证发现, 该模型的性能较好, 说明厌氧消化产气预测模型具有一定的适用性。

关键词: 厌氧共消化; 人工神经网络; 数据挖掘; 猪粪; 秸秆; 产气预测模型

中图分类号: TU993.3 **文献标识码:** A **文章编号:** 1000-4602(2019)01-0077-05

Anaerobic Co-digestion Biogas Production Model Based on Data Mining and Artificial Neural Network

WEN Qin-xue¹, LI Yi-xin², YANG Shuo¹, DANG Ning³, GAN Shuo-ru¹,
LI Hui-li³, CHEN Zhi-qiang^{1,3}

(1. State Key Laboratory of Urban Water Resource and Environment, Harbin Institute of Technology, Harbin 150090, China; 2. China Southwest Architectural Design and Research Institute Co. Ltd., Chengdu 610041, China; 3. School of Civil Engineering, Lanzhou University of Technology, Lanzhou 730050, China)

Abstract: Stable operation data from anaerobic co-digestion reactor of pig manure and straw was used as raw data to simulate the anaerobic methane production process. Data mining was used for the pretreatment of data and the artificial neural network was used for the development of the biogas prediction model. Five inputs and one output of the model were determined using the cluster analysis and correlation analysis in SPSS. The number of neurons in the model was nine, selected using the method of cut-and-try. Two commonly used algorithms, standard BP algorithm and momentum-learning rate adaptive algorithm, were used to train the model after ensuring model topology. Results showed better performance in the momentum-learning rate adaptive algorithm. The model was tested and showed good performance, which indicated applicability of the methane production prediction model.

Key words: anaerobic co-digestion; artificial neural network; data mining; pig manure; straw; biogas production prediction model

基金项目: 国家重点研发计划项目(2016YFC0401102-3); 国家自然科学基金资助项目(51578182)

通信作者: 陈志强 E-mail:czqhit@163.com

厌氧消化是常用的有机废物实现资源化的方法,但是传统的厌氧消化技术在处理单一基质,比如污泥、粪便时,存在产气量低的问题,而选择厌氧共消化处理污泥和粪便则可有效解决易发生氨抑制及甲烷产率低的问题^[1]。近年来,利用数据挖掘进行建模被广泛应用于环境工程领域^[2-4]。由于厌氧共消化具有复杂性和非线性等特点,因此对该过程进行建模是环境工程领域的研究难点。与厌氧消化相关的模型如IPCC模型、COD估算模型等,具有参数较难获得、厌氧过程过于简化、误差较大等缺点^[5-6],不能很好地描述全部厌氧消化过程和指导实际生产运行。人工神经网络通过学习逼近任意非线性映射,便于表征复杂成分及数量的变化,可以用于厌氧共消化的建模过程^[7]。

笔者以稳定运行的猪粪秸秆厌氧共消化反应器的运行数据为依据,应用数据挖掘技术对其进行预处理,并应用人工神经网络建立猪粪秸秆厌氧共消化产气预测模型,旨在为模拟猪粪秸秆厌氧共消化过程提供依据,并指导规模化养殖过程中粪便和秸秆的处理问题。

1 材料与方法

1.1 试验材料

本试验所用的猪粪和秸秆均来自于哈尔滨市某养猪场。粪便去除杂质后密存,秸秆磨粉后备用(长约为2 mm,宽约为0.25 mm)。猪粪和秸秆的总固体含量分别为23.5%和82.4%,挥发性固体含量分别为17.4%和64.8%,碳含量分别为46.26%和45.17%,氮含量分别为4.25%和0.63%。污泥取自某玉米加工厂EGSB厌氧反应罐,随后以蔗糖和

猪粪-秸秆混合物进料,逐步替换为猪粪-秸秆混合物。

试验过程中,控制反应器的温度为35 °C,反应体积为5 L,SRT为20 d。控制进料中猪粪与秸秆的质量比为2:1,进料混合固体TS为7%。

1.2 试验方法

检测指标包括pH值、ORP值、挥发性脂肪酸(VFAs)、溶解性COD(SCOD)、NH₄⁺-N、碱度、总产气量、甲烷产量、TS、VS和C/N值。其中,pH值与ORP值采用pH计和氧化还原电极测定,SCOD、氨氮、碱度和碳氮比分别采用消解-化学滴定法、分光光度法、电位滴定法和元素分析仪测定,VFAs和CH₄采用气相色谱测定,TS和VS采用重量法测定。猪粪秸秆厌氧反应器稳定运行了90 d,排除错误数据后,共获得83组完整数据,将这些数据作为BP神经网络的原始数据。

2 结果与讨论

2.1 数据的相关性分析

本试验测定了多个常规指标,但这些指标与产气量不一定直接相关。因此,需要提前进行相关性分析,从而确定建模所需的指标。利用SPSS 22.0软件分析试验数据之间的相关性,并选用斯皮尔曼等级相关系数法分析VFAs、碱度、氨氮、SCOD、前一天总产气量和CH₄含量与甲烷产量的相关性,结果见表1。可以看出,氨氮与甲烷产量的相关性较为显著;VFAs、SCOD、CH₄含量、前一天产气量与甲烷产量的相关性非常显著;碱度与甲烷产量的相关性不明显。这与赖夏颉的研究结果相似^[7],说明本试验的结论具有一定的可信度。

表1 厌氧发酵常规理化指标的相关系数

Tab. 1 Correlation coefficient of physicochemical indexes in anaerobic fermentation

项目	甲烷产量	VFAs	SCOD	碱度	氨氮	前一天产气量	CH ₄ 含量
甲烷产量	1.00	-0.29**	-0.54**	-0.02	-0.24*	0.51**	0.67**
VFAs	-0.29**	1.00	0.30**	0.04	0.18	-0.25*	-0.13
SCOD	-0.54**	0.30**	1.00	0.06	0.41**	-0.42**	-0.50**
碱度	-0.02	0.04	0.06	1.00	0.10	-0.01	0.14
氨氮	-0.24*	0.18	0.41**	0.10	1.00	-0.06	-0.12
前一天产气量	0.51**	-0.25*	-0.42**	-0.01	-0.06	1.00	0.48**
CH ₄ 含量	0.67**	-0.13	-0.50**	0.14	-0.12	0.48**	1.00

注: *表示相关性显著,而**表示相关性非常显著。

2.2 错误数据的剔除

测量出的试验数据由于多种原因,不可避免地会出现一些误差。为了提高模型的精度,需要去掉

其中的错误数据。本试验拟采用K平均聚类算法筛选原始数据,设置初始聚类中心为6,聚类结果如表2所示。1、2、3、4、5、6聚类中包括的数据总数分

别为22、6、26、1、20、8。可以看出,聚类中心4的数据仅有1个,小于总数据量的1.5%,因此舍弃第4个聚类中心。之后利用欧几里得度量计算聚类中心

与数据点之间的距离,经过计算之后,在收集到的数据中最终得到81组有效数据,采用该81组数据建立模型。

表2 聚类结果

Tab. 2 Clustering results

项 目	聚类中心					
	1	2	3	4	5	6
甲烷产量	194.01	176.77	181.96	133.53	216.98	225.59
VFAs	19.26	30.18	21.47	1211.69	17.99	13.09
SCOD	716.35	1414.99	1031.37	699.99	290.49	238.81
氨氮	646.72	784.18	841.69	571.98	556.59	890.87
前一天产气量	191.12	182.36	188.09	122.00	211.59	225.58
甲烷含量	54.22	53.33	53.01	50.02	57.02	57.49

2.3 模型的建立

为了均等对待每个指标,消除因单位和数值量级差距较大带来的影响,在建模前对不同指标进行归一化预处理。采用mapminmax函数处理数据,该函数是一种常见的归一化处理方法,可以把样本数据利用相应的算法归一化到最优的数据范围内。

2.3.1 隐含层层数与输入、输出层个数的确定

相比单隐层网络,多隐层网络更容易出现陷入局部极小误差无法摆脱、训练时间急剧增加、训练更加困难和难以达到最佳处理状态等问题。基于以上分析,本试验采用单隐层BP神经网络模型。根据2.2节,确定模型的输入端为SCOD、VFAs、甲烷含量、氨氮、当天甲烷产量5个输入,选取下一天的产气量作为模型的输出。

2.3.2 隐含层个数与隐含层传递函数的确定

BP神经网络拓扑结构的关键在于确定隐含层的层数和神经节点的个数,本试验采用公式(1)估计隐含层节点数的大概值。

$$M = \sqrt{p + q} + a \quad (1)$$

式中:M为隐含层个数;p为输入层节点数,本试验取5;q为输出层节点数,本试验取1;a为1~10的常数。

根据公式(1)估算神经网络的隐含层节点数在[3,12]之间,然后采用试凑法来确认隐含层的层数,传递函数的类型选用S型传递函数。但是由于S型传递函数的种类及隐含层的个数不确定,因此本试验对其进行训练,并选取训练误差最小的指标。为了使训练结果准确度更高,每种组合会训练10次,将10次训练误差取平均值得到最佳结果(如表3所示)。

表3 模型训练结果

Tab. 3 Model training results

隐含层节点数	隐含层传递函数种类	
	tansig	logsig
3	0.041 9	0.051 0
4	0.033 1	0.051 0
5	0.036 1	0.042 9
6	0.029 9	0.047 1
7	0.029 1	0.035 1
8	0.021 9	0.037 1
9	0.020 4	0.037 1
10	0.028 0	0.029 7
11	0.021 9	0.043 0
12	0.025 5	0.032 7

由表3可知,当传递函数为tansig、隐含层节点数为9时,模型的训练误差最小,为0.020 4。因此,可以确定本试验应用的BP神经网络的结构,如图1所示。

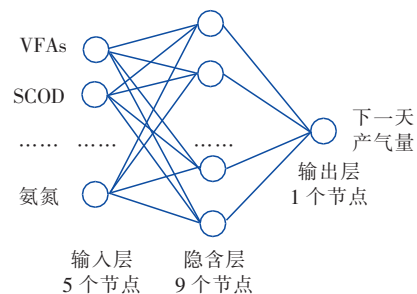


图1 BP神经网络拓扑结构

Fig. 1 BP neural network topology

2.3.3 训练函数的确定

本试验采用标准BP算法和动量-自适应学习速率算法,两种算法对应的训练函数分别为traingd和traingdx。

2.3.4 其他参数的确定

除了前面列举的参数,影响模型精度的指标还包括网络性能目标、学习速率等,本试验利用查阅文献的方法确定这些参数值。例如,由于线性函数具有能够使模型输出任意值的特性,所以通常被用来作为输出层的传递函数。模型参数设定:隐含层到输出层传递函数为线性函数,学习速率为0.03,网络性能评价指标为均方误差(MSE),动量常数为0.4,网络性能目标为0.02,其他参数均为网络自身的默认值。

2.3.5 模型的训练

建模前需要将预处理好的样本集分成训练样本集和测试样本集两部分。两个样本集要同时包含两个反应器的运行数据,得出的测试样本集和训练样本集的数据分别为10组和71组。模型均方误差的变化如图2所示。可知,动量-自适应学习速率算法中BP神经网络经过1 890次训练收敛后,达到的收敛目标误差为0.02;而标准BP算法中神经网络训练的收敛速度较慢,训练时间较长,并陷入了局部最小值中,经过4 000次迭代运算后仍不能收敛至目标误差。

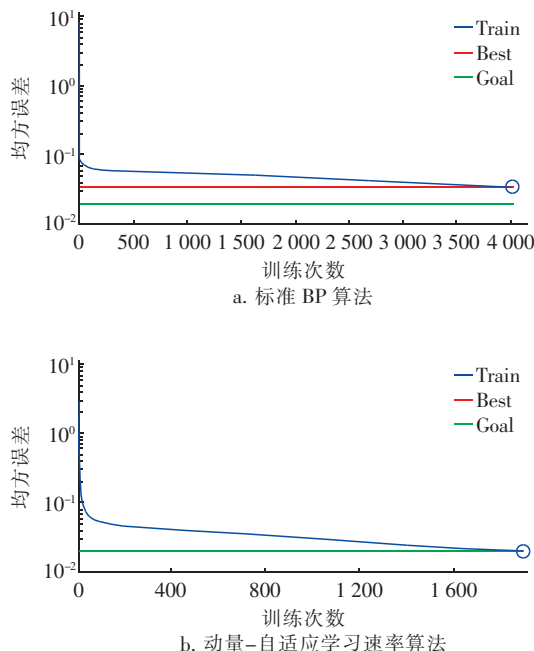


图2 模型均方误差的变化

Fig. 2 Variation of mean square error of model

两种算法中网络输入值和输出值的线性回归如图3所示。可以看出,标准BP算法和动量-自适应学习速率算法中,BP神经网络的输出和目标值的

线性拟合相关系数分别为0.87和0.91;同时,采用动量-自适应学习速率算法获得的拟合方程与直线 $Y=T$ 更贴切,说明该算法具有很强的学习能力,对于模型准确度的提升效果较为明显。

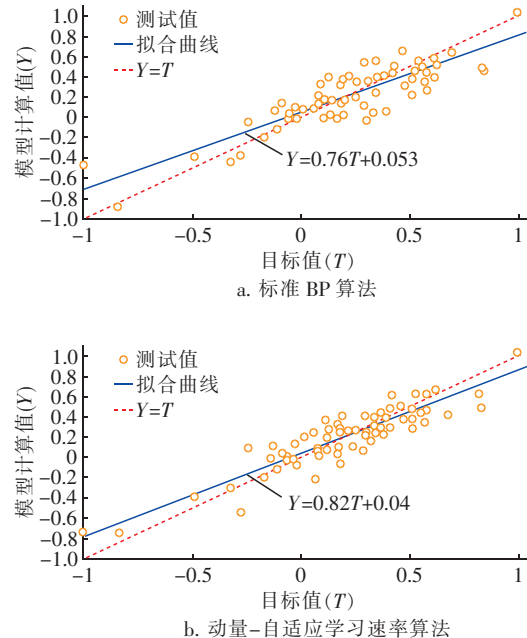


图3 网络输入和输出值的线性回归

Fig. 3 Linear regression of network input and output values

2.4 模型仿真分析

模型仿真实验数据来自于测试样本集的10组数据,将这10组数据输入到已经训练完成的模型中进行测试,预测值和实际值的拟合曲线如图4所示。

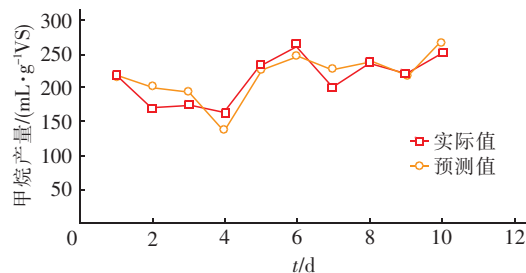


图4 产气预测值与实际值拟合曲线

Fig. 4 Fitting curve of predicted value and actual value of biogas production

从图4可以看出,应用该模型预测的厌氧消化反应器的甲烷产量与实际甲烷产量有较好的相关性,预测值与实际值的变化趋势基本吻合。另外,测试样本集中第8组和第9组的甲烷产量分别为238.91和223.29 mL/gVS,通过模型预测得到的甲烷产量分别为239.21和218.51 mL/gVS,实际值与

预测值的相对误差仅分别为0.13%和2.14%。预测的准确率较高,说明该模型对于厌氧消化产气量具有一定的预测能力。

3 结论

① 利用相关性分析预处理厌氧反应器的运行指标,确定了模型的输入量和输出量,并利用试凑法确定了单隐层神经网络模型。当输入层到隐含层的传递函数为tansig、隐含层节点数为9时,模型的训练误差最小。

② 动量-自适应学习速率算法经过1890次训练收敛后即可以达到目标误差为0.02,并且输出值与目标值的相关系数为0.91,更接近直线 $Y=T$,说明动量-自适应学习速率算法的拟合性和训练性较好。

③ 对建立好的产气模型进行仿真模拟试验,模拟结果与厌氧反应器实际值相吻合,说明该厌氧产气模型有较好的预测效果。

参考文献:

- [1] 宋欢,张光明,王洪臣,等. 污泥与其他基质共消化研究进展[J]. 工业用水与废水,2016,47(4):1-6.
Song Huan, Zhang Guangming, Wang Hongchen, et al. Research progress of co-digestion of sludge and other substrates [J]. Industrial Water & Wastewater, 2016, 47(4):1-6 (in Chinese).
- [2] 施惠娟. 可视化数据挖掘技术的研究与实现[D]. 上海:华东师范大学,2009.
Shi Huijuan. The Research and Implementation on Visual Data Mining Technology [D]. Shanghai: East China Normal University, 2009 (in Chinese).
- [3] 刘祥明. 水质时间序列数据挖掘及其应用集成研究[D]. 重庆:重庆大学,2011.
Liu Xiangming. Study on Water Quality Time Series Data Mining and Application Integration [D]. Chongqing: Chongqing University, 2011 (in Chinese).
- [4] 范敏. 基于贝叶斯网络的学习与决策方法研究及应用[D]. 重庆:重庆大学,2008.
- [5] 张文阳,张良均,李娜,等. 多元回归和BP人工神经网络在预测混合厌氧消化产气量过程中的应用比较[J]. 环境工程学报,2013,7(2):747-752.
Zhang Wenyang, Zhang Liangjun, Li Na, et al. Comparing multiple regression and BP artificial nerve net model used on prediction of anaerobic co-digestion gas-producing process [J]. Chinese Journal of Environmental Engineering, 2013,7(2):747-752 (in Chinese).
- [6] 奇敏. 有机垃圾厌氧消化产气规律及模型研究[D]. 武汉:华中科技大学,2009.
Qi Min. The Research on the Regularity and Model of Anaerobic Digestion of the Organic Waste [D]. Wuhan: Huazhong University of Science & Technology, 2009 (in Chinese).
- [7] 赖夏颉. 基于数据挖掘技术的厌氧消化系统模拟研究[D]. 成都:西南交通大学,2014.
Lai Xiajie. Anaerobic Digestion System Simulation Research Based on Data Mining Technology [D]. Chengdu: Southwest Jiaotong University, 2014 (in Chinese).



作者简介:温沁雪(1977-),女,黑龙江哈尔滨人,博士,副教授,主要从事废物资源化理论与技术研究。

E-mail: wqxshelly@263.net

收稿日期:2018-08-22